

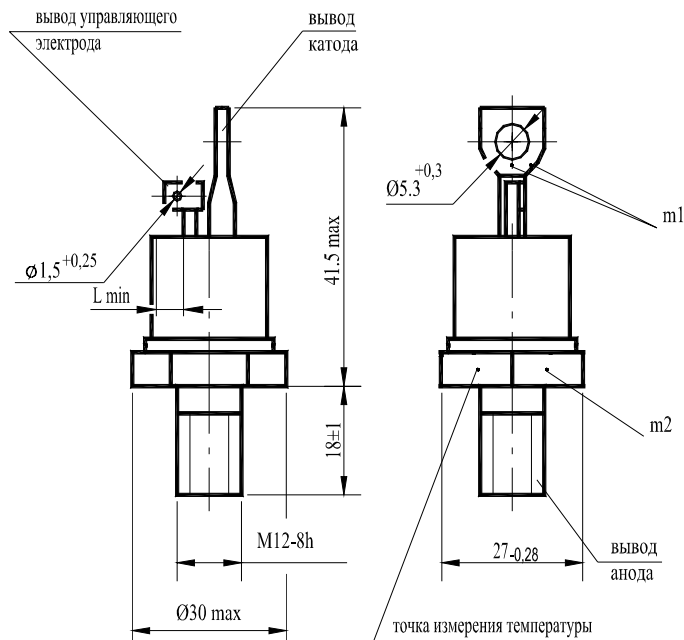
ТИРИСТОРЫ

**T151-63, T151-80,
T152-63, T152-80**

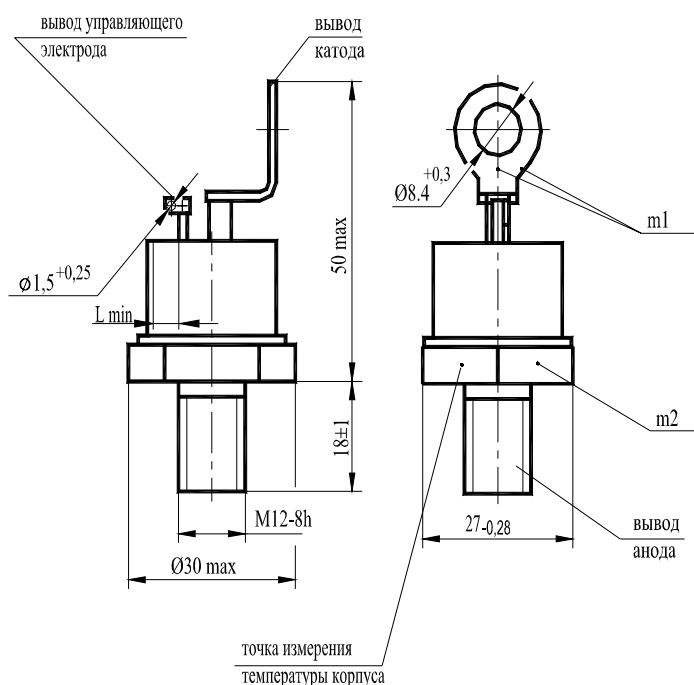


Конструкция тиристоров с жесткими выводами (T152)

Вариант I



Вариант

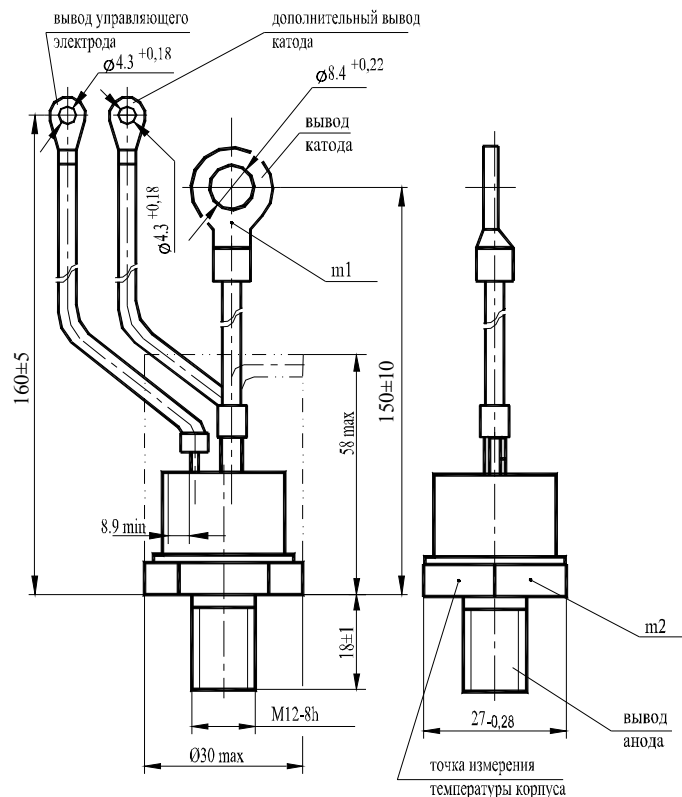


m1, m2 - контрольные точки измерения импульсного напряжения в открытом состоянии;

$L_{min} = 8,9$ мм - длина пути для тока утечки между выводом анода и выводом управляющего электрода, расстояние по воздуху между этими выводами.

Масса тиристора: не более 75 г

Конструкция тиристоров с гибкими выводами (T151)



m1, m2 - контрольные точки измерения импульсного напряжения в открытом состоянии;

Масса тиристора: не более 98,5 г.

Тепловые параметры

Обозначение параметра	Наименование, единица измерения	Тип тиристора		Условия установления норм на параметры
		T151-63 T152-63	T151-80 T152-80	
T_{jm}	Максимально допустимая температура перехода, °C	125		
T_{jmin}	Минимально допустимая температура перехода, °C	минус 50 минус 60 для УХЛ2.1		
T_{stg}	Максимально допустимая температура хранения, °C	50 (60 для Т3 и ОМ2.1)		
$T_{stg\ min}$	Минимально допустимая температура хранения, °C	минус 50 минус 60 для УХЛ2.1		
R_{thjc}	Тепловое сопротивление переход-корпус, °C/Вт, не более	0,35	0,28	Постоянный ток
R_{thch}	Тепловое сопротивление корпус-охладитель, °C/Вт, не более	0,15		Естественное охлаждение. Охладитель ОР251.
R_{thja}	Тепловое сопротивление переход-среда (с охладителем), °C/Вт, не более	2,62	2,55	Постоянный ток.

..... ТИРИСТОРЫ ШТЫРЕВОЙ КОНСТРУКЦИИ

Параметры закрытого состояния

Обозначение параметра	Наименование, единица измерения	Тип тиристора		Условия установления норм на параметры			
		T151-63	T151-80				
U _{DRM} , U _{RRM}	Повторяющееся импульсное напряжение в закрытом состоянии и повторяющееся импульсное обратное напряжение, В, для класса:	13 14 16 18 20	1300 1400 1600 1800 2000	T _{jm} = 125 °C , t _i = 10 мс, f = 50 Гц			
U _{DSTM} , U _{RSM}	Повторяющееся импульсное напряжение в закрытом состоянии и повторяющееся импульсное обратное напряжение, В, для класса:						
U _b , U _R	Постоянное напряжение в закрытом состоянии и постоянное обратное напряжение, В						
U _{DWM} , U _{RWM}	Рабочее импульсное напряжение в закрытом состоянии и рабочее импульсное обратное напряжение, В	0,6U _{DRM} (U _{RRM})	T _c = 85 °C	T _c = 85 °C			
(dU _D /dt) _{crit}	Критическая скорость нарастания напряжения в закрытом состоянии, В/мкс, не менее, для группы:						
I _{DRM} , I _{RRM}	Повторяющийся импульсный обратный ток и повторяющийся импульсный ток в закрытом состоянии, мА, не более	6	T _j = 25 °C , U _D = U _{DRM} , U _R = U _{RRM}	T _{jm} = 125 °C , U _D = U _{DRM} , U _R = U _{RRM}			

Параметры управления

Обозначение параметра	Наименование, единица измерения	Тип тиристора		Условия установления норм на параметры
		T151-63	T151-80	
I _{GT}	Отпирающий постоянный ток управления, мА, не более	150 400 450	T _j = 25 °C , U _D = 12 В	T _j = 25 °C , U _D = 12 В
U _{GT}	Отпирающее постоянное напряжение управления, В, не более	3,0 4,5 4,8	T _j = 25 °C	T _j = 25 °C
I _{GD}	Неотпирающее постоянное напряжение управления, В, не менее	0,3	T _{jm} = 125 °C , U _D = 0,67U _{DRM} , du _D /dt = 5 В/мкс	

..... ТИРИСТОРЫ ШТЫРЕВОЙ КОНСТРУКЦИИ

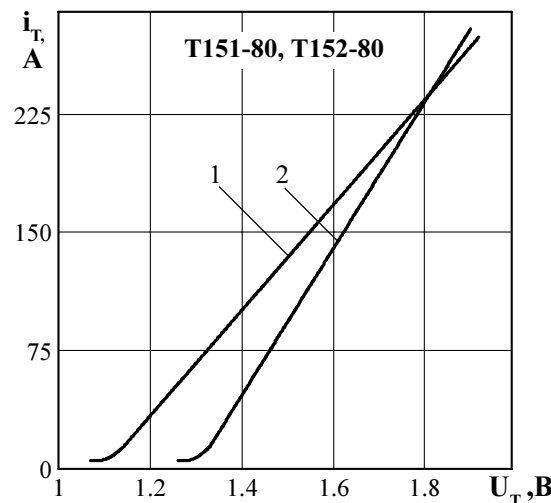
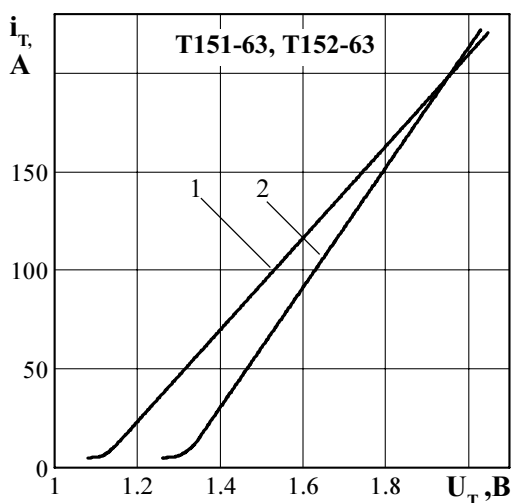


Рисунок 1 - Предельная вольтамперная характеристика в открытом состоянии при температуре перехода 25°C (1) и максимальной температуре перехода T_{jm} (2) $I_T = 3,14I_{T(\text{AV})}$

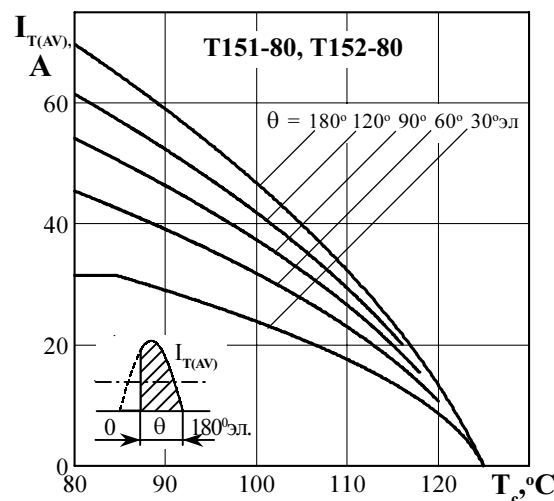
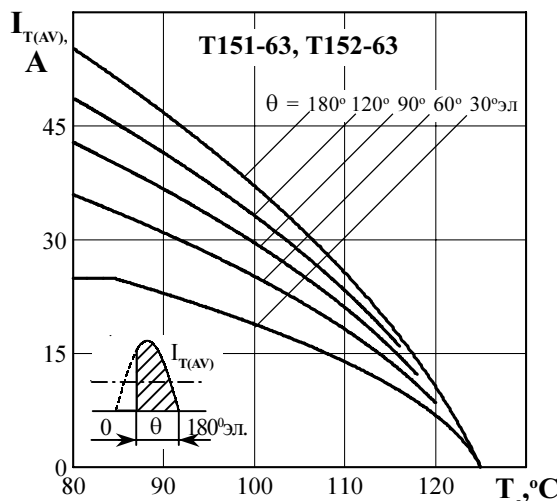


Рисунок 2 - Зависимость допустимого среднего тока в открытом состоянии $I_{T(\text{AV})}$ от температуры корпуса T_c для токов синусоидальной формы частотой $f = 50$ Гц

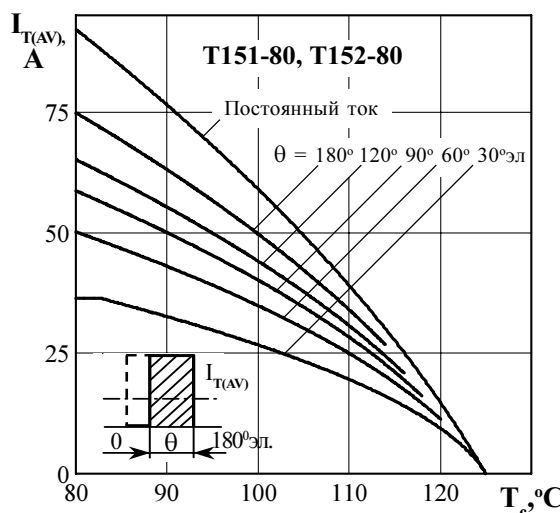
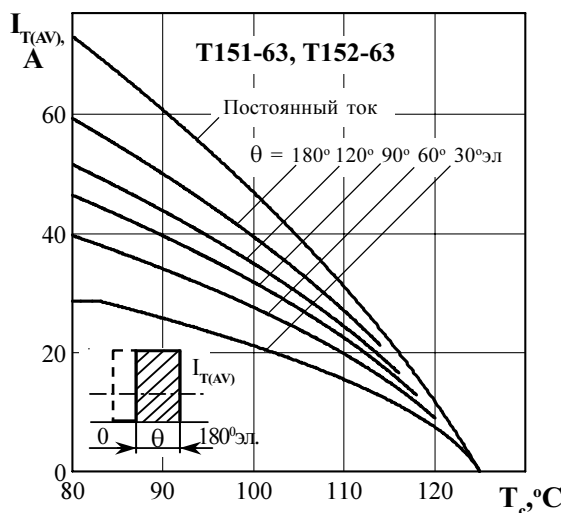


Рисунок 3 - Зависимость допустимого среднего тока в открытом состоянии $I_{T(\text{AV})}$ от температуры корпуса T_c для токов прямоугольной формы частотой $f = 50$ Гц и постоянного тока

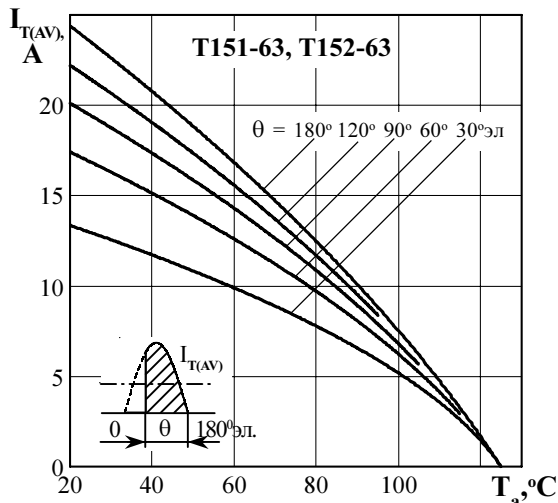


Рисунок 4 - Зависимость допустимого среднего тока в открытом состоянии $I_{T(AV)}$ от температуры окружающей среды T_a при естественном охлаждении на типовом охладителе О251 при различных углах проводимости для токов синусоидальной формы частотой $f = 50$ Гц

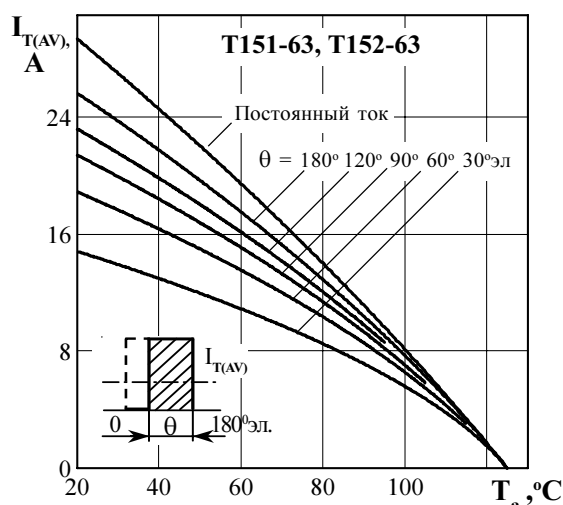
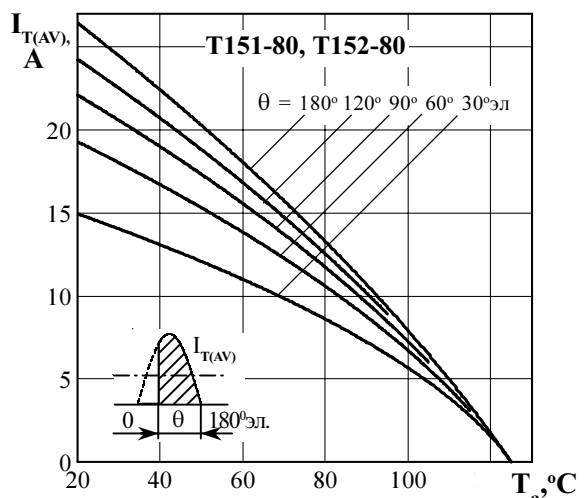


Рисунок 5 - Зависимость допустимого среднего тока в открытом состоянии $I_{T(AV)}$ от температуры окружающей среды T_a при естественном охлаждении на типовом охладителе при различных углах проводимости для токов прямоугольной формы частотой $f = 50$ Гц и постоянного тока

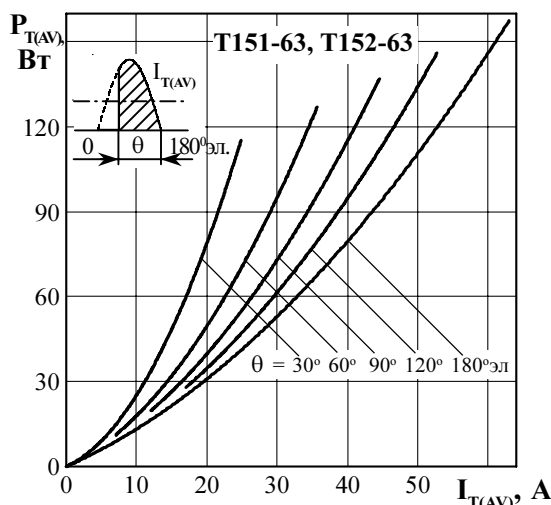
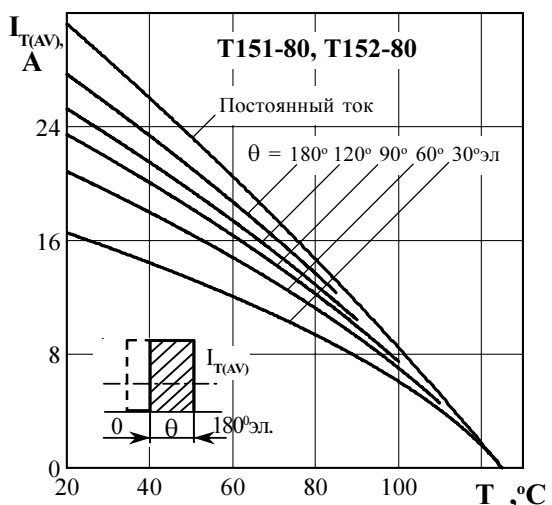
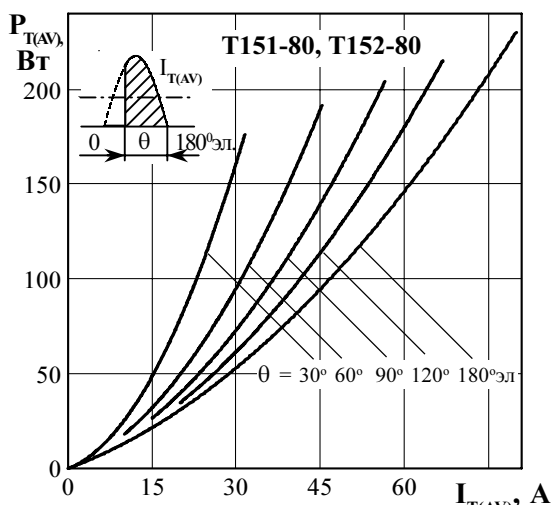


Рисунок 6 - Зависимость средней рассеиваемой мощности в открытом состоянии $P_{T(AV)}$ от среднего тока в открытом состоянии $I_{T(AV)}$ синусоидальной формы частотой $f = 50$ Гц



..... ТИРИСТОРЫ ШТЫРЕВОЙ КОНСТРУКЦИИ

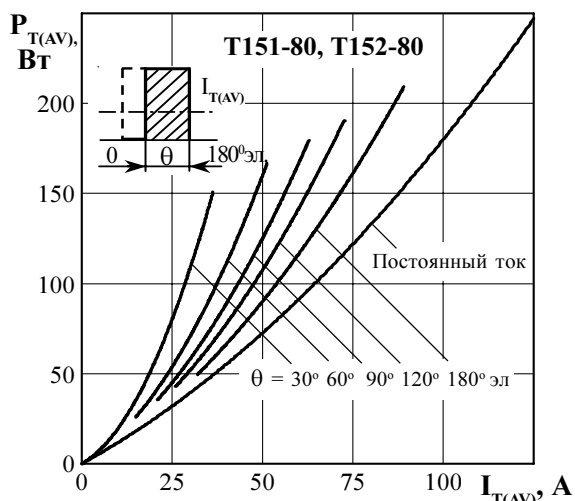
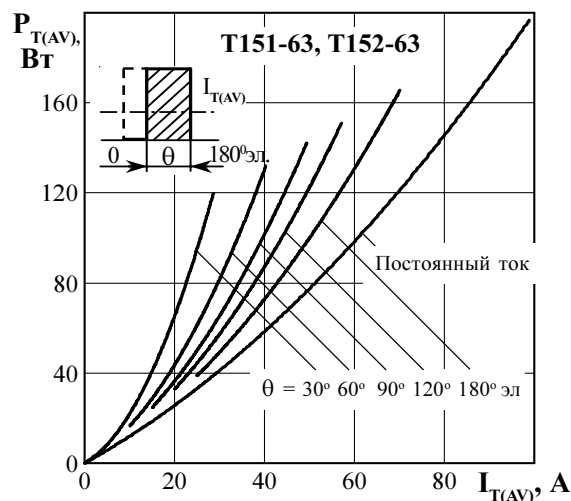


Рисунок 7 - Зависимость средней рассеиваемой мощности в открытом состоянии $P_{T(AV)}$ от среднего тока в открытом состоянии $I_{T(AV)}$ прямоугольной формы частотой $f = 50$ Гц и постоянного тока

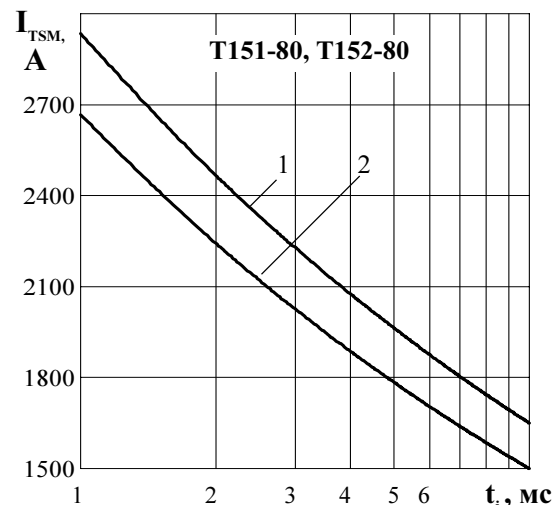
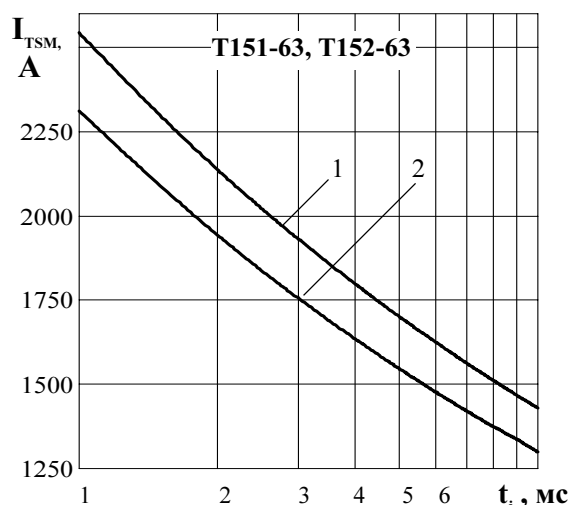


Рисунок 8 - Зависимость допустимой амплитуды ударного тока в открытом состоянии I_{TSM} от длительности импульса тока t_i при исходной температуре структуры $T_j = 25$ °C (1) и максимальной температуре T_{jm} (2)

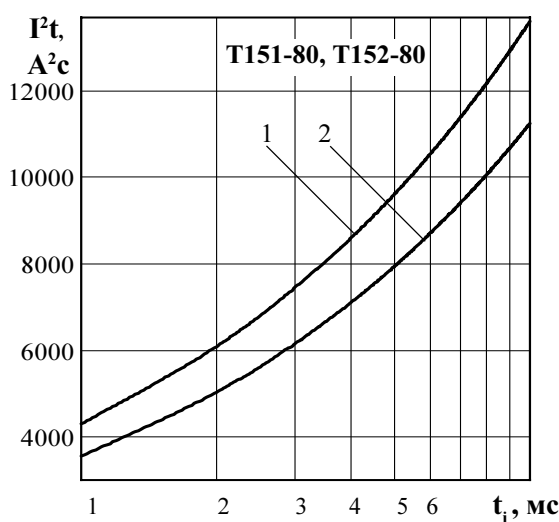
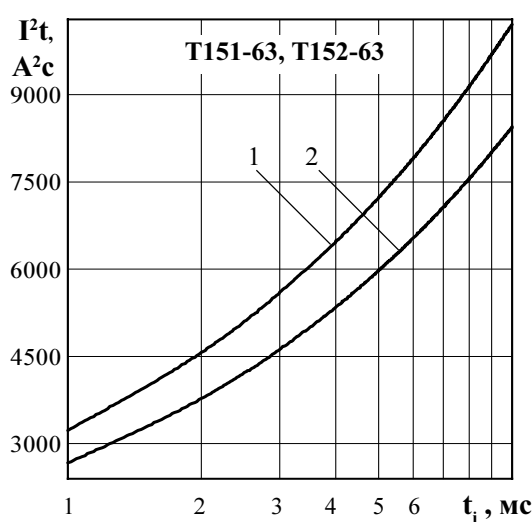


Рисунок 9 - Зависимость защитного показателя I^2t от длительности импульса тока t_i при исходной температуре структуры $T_j = 25$ °C (1) и максимальной температуре T_{jm} (2)

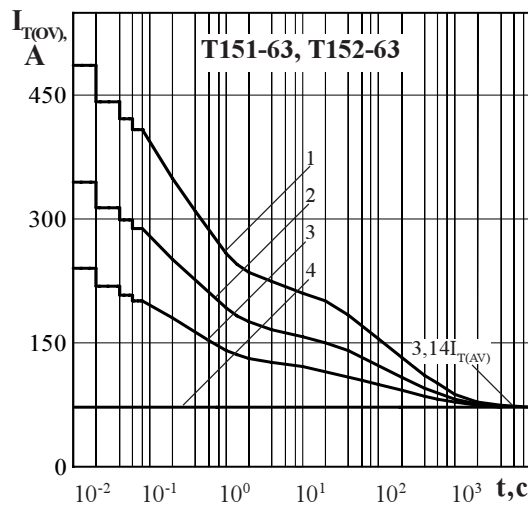


Рисунок 10 - Зависимость допустимой амплитуды тока перегрузки в открытом состоянии $I_{T(OV)}$ синусоидальной формы частотой $f = 50$ Гц от длительности перегрузки t при температуре окружающей среды $T_a = 40$ °C и при отношении тока, предшествующего перегрузке, I_t к допустимому среднему току с охладителем O251 $I_{T(AV)}$ равному $k = I_t / I_{T(AV)}$; $k = 0$ (1); 0,5 (2); 0,75 (3); 1,0 (4).

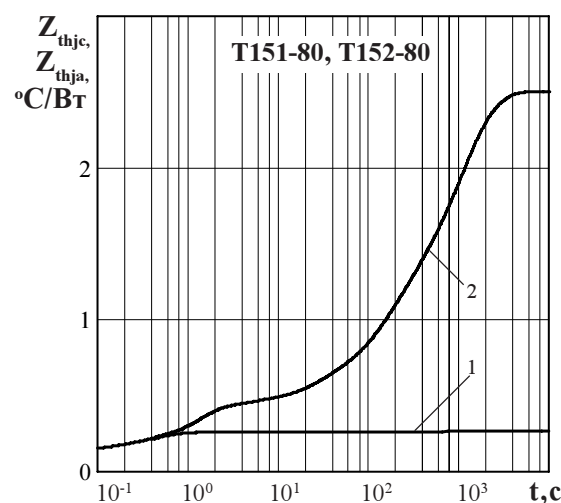
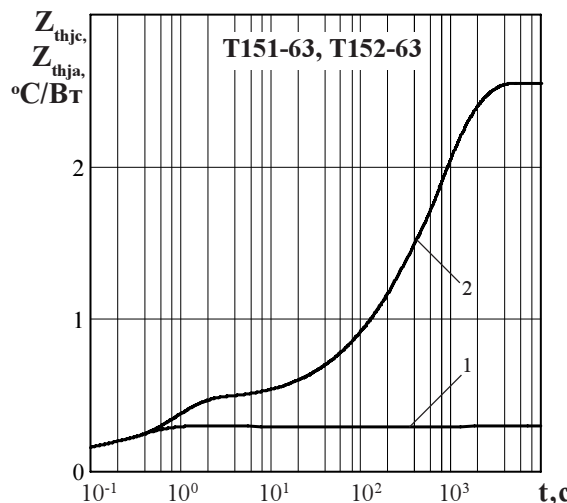
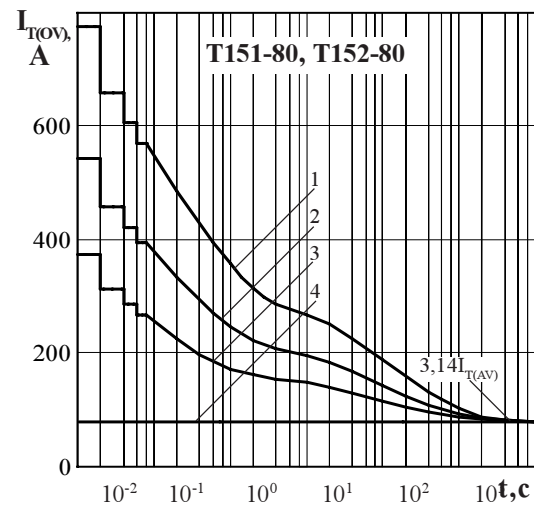
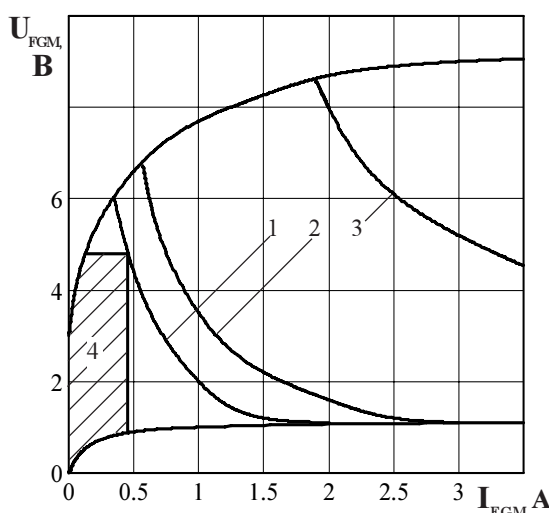


Рисунок 11 - Зависимость теплового сопротивления переход - корпус Z_{thjc} (1) и переход- среда Z_{thja} (2) от времени t при естественном охлаждении $T_a = 40$ °C на типовом охладителе .



Позиция на рисунке	Скважность	Длительность импульса тока управления t_G , мс	Допустимая импульсная мощность управления, P_{GFM} , Вт
1	1	Пост. ток	1,9
2	2	10	3,6
3	10	2	16

4 - область негарантированного отпирания при $T_{im} = \text{минус } 60$ °C

Рисунок 12 - Предельные характеристики цепи управления

ТИРИСТОРЫ ШТЫРЕВОЙ КОНСТРУКЦИИ

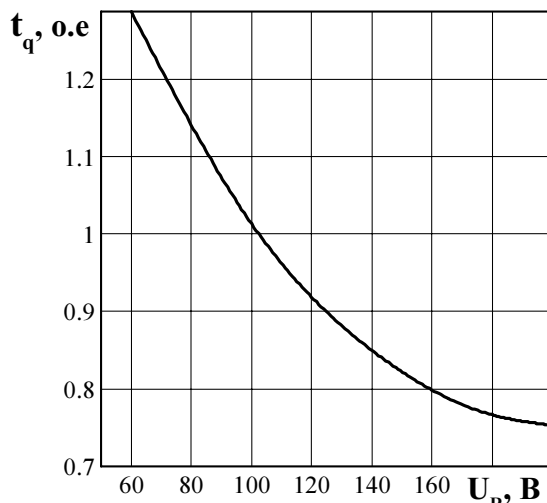


Рисунок 13 - Зависимость времени выключения t_q (о.е.) от обратного напряжения U_R при максимальной температуре перехода $T_{jm} = 125^{\circ}\text{C}$; $I_T = I_{T(AV)}$; $(di/dt)_f = 5 \text{ A}/\mu\text{s}$; $dU_D/dt = 50 \text{ В}/\mu\text{s}$; $U_D = 0,67 U_{DRM}$

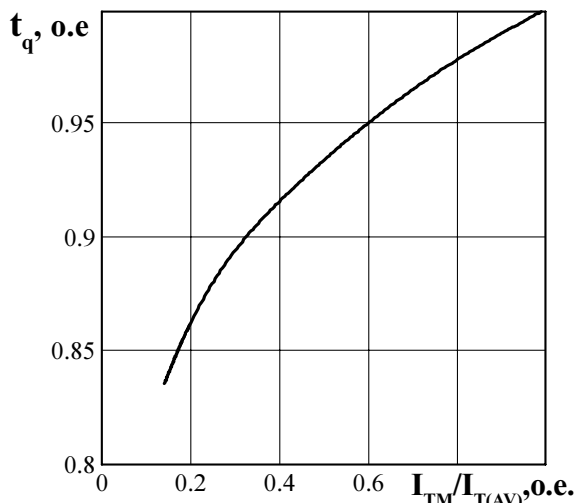


Рисунок 14 - Зависимость времени выключения t_q (о.е.) от амплитуды предшествующего тока в открытом состоянии $I_T / I_{T(AV)}$ (о.е.) при $T_{jm} = 125^{\circ}\text{C}$; $U_R = 100 \text{ В}$; $(di/dt)_f = 5 \text{ A}/\mu\text{s}$; $dU_D/dt = 50 \text{ В}/\mu\text{s}$; $U_D = 0,67 U_{DRM}$

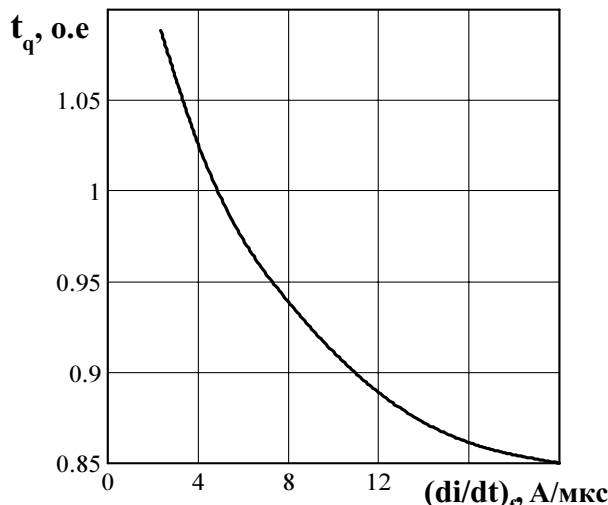


Рисунок 15 - Зависимость времени выключения t_q (о.е.) от скорости спада тока в открытом состоянии $(di/dt)_f$ при $T_{jm} = 125^{\circ}\text{C}$; $I_T = I_{T(AV)}$; $U_R = 100 \text{ В}$; $dU_D/dt = 50 \text{ В}/\mu\text{s}$; $U_D = 0,67 U_{DRM}$

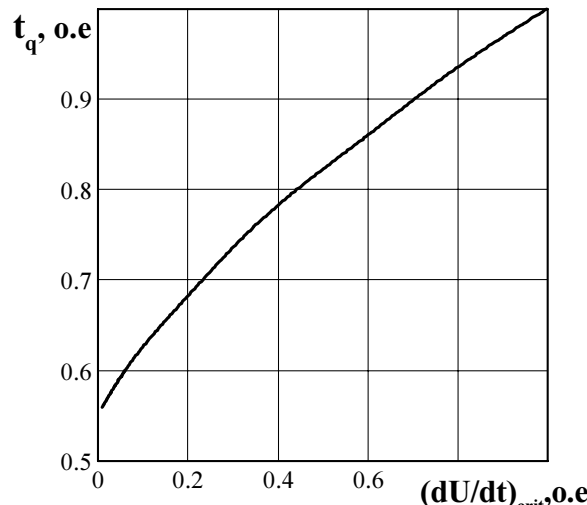


Рисунок 16 - Зависимость времени выключения t_q (о.е.) от скорости нарастания напряжения в закрытом состоянии dU_R/dt при $T_{jm} = 125^{\circ}\text{C}$; $I_T = I_{T(AV)}$; $U_D = 0,67 U_{DRM}$; $U_R = 100 \text{ В}$; $(di/dt)_f = 5 \text{ A}/\mu\text{s}$

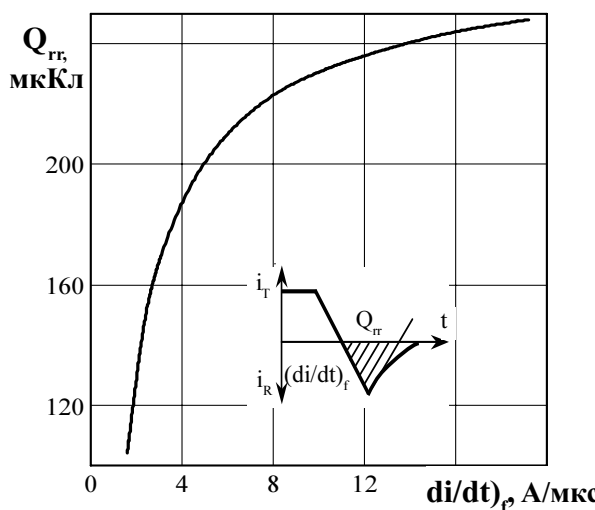


Рисунок 17 - Зависимость заряда восстановления Q_{rr} от скорости спада тока $(di/dt)_f$ в открытом состоянии при температуре перехода $T_{jm} = 125^{\circ}\text{C}$, $U_{RM} = 100 \text{ В}$; $I_T = I_{T(AV)}$.

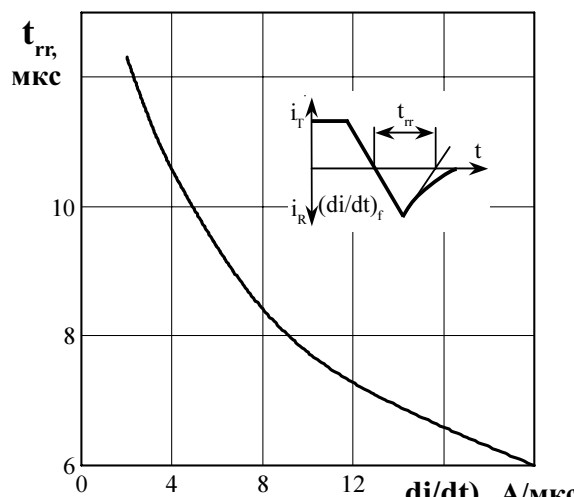


Рисунок 18 - Зависимость времени обратного восстановления t_{rr} от скорости спада тока $(di/dt)_f$ в открытом состоянии при температуре перехода $T_{jm} = 125^{\circ}\text{C}$, $U_{RM} = 100 \text{ В}$; $I_T = I_{T(AV)}$.

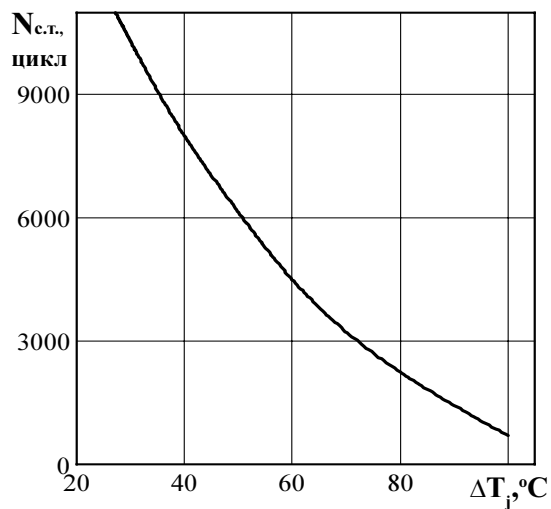


Рисунок 19 - Зависимость максимально допустимого числа циклов $N_{c.t.}$ от перепада температуры перехода ΔT_j при циклической токовой нагрузке.